

Асланов В.С., Дорошин А.В.

ДВА ВИДА ДВИЖЕНИЯ СООСНЫХ КОСМИЧЕСКИХ АППАРАТОВ ПЕРЕМЕННОЙ МАССЫ

Соосные космические аппараты (КА) представляют собой весьма распространенный класс [1, 2, 3]. Описание движения КА с двойным вращением можно проводить на основе механической системы соосных тел. При совершении активных маневров соосного КА с тор-мозной двигательной установкой (ТДУ) происходит изменение его инерционно-массовых параметров, поэтому описание пространственного движения соосных тел переменной массы представляет собой важную практическую задачу.

Уравнения движения системы соосных тел переменной массой получены в работе [3] и имеют следующий вид:

$$\begin{aligned} (A(t) - m\rho_c^2(t))\dot{p} + B(t)qr + C_1(t)q\sigma &= 0, \\ (A(t) - m\rho_c^2(t))\dot{q} - B(t)pr - C_1(t)p\sigma &= 0, \\ C_2\dot{r} + C_1(t)(\dot{r} + \dot{\sigma}) &= 0, \end{aligned} \quad (1)$$

$$C_1(t)(\dot{r} + \dot{\sigma}) = M_\delta, \quad (2)$$

где $B(t) = C(t) - A(t)$, $C(t) = C_2 + C_1(t)$, $A(t) = A_2 + A_1(t)$; A_i и C_i — экваториальный и продольный моменты инерции тела i , вычисленные в связанной с телом системе координат (для тела 2 — Oxz , для тела 1 — $Ox'y'z'$); M_δ — момент внутреннего взаимодействия тел.

Следует отметить, что за полюс O , вокруг которого рассматривается пространственное движение, выбрана точка, совпадающая с начальным положением центра масс системы тел. Тела системы могут вращаться относительно друг друга лишь в направлении общей продольной оси. Угол и скорость относительного закручивания тел обозначим, соответственно, как δ и σ , причем $\sigma = \dot{\delta}$.

Добавим к динамическим уравнениям (1) и (2) следующие кинематические уравнения:

$$\begin{aligned} \dot{\gamma} &= p \sin \varphi + q \cos \varphi, \quad \dot{\psi} = \frac{1}{\cos \gamma} (p \cos \varphi - q \sin \varphi), \\ \dot{\phi} &= r - \frac{\sin \gamma}{\cos \gamma} (p \cos \varphi - q \sin \varphi), \quad \dot{\delta} = \sigma. \end{aligned} \quad (3)$$

Будем полагать, что масса, продольные и поперечные моменты инерции убывают по линейному закону:

$$m(t) = m_1 + m_2 - vt,$$

$$A_1(t) = A_1 - \frac{A_1 - A_{1k}}{T} t = A(m_1 - vt), \quad C_1(t) = C_1 - \frac{C_1 - C_{1k}}{T} t = C(m_1 - vt), \quad (4)$$

$$A = const, \quad C = const, \quad A_2 = const, \quad C_2 = const,$$

где m_i - начальная масса тела i ; v - секундный расход массы; A_i, C_i, A_{1k}, C_{1k} - величины экваториальных и продольных моментов инерции тел, соответствующие началу и концу работы ТДУ; T - время работы ТДУ; A, C - коэффициенты пропорциональности, связывающие величины моментов инерции тела I с его массой.

Если допустить, что между телами присутствует момент внутреннего взаимодействия $M_s(t)$, то из уравнений (1) и (2) следуют следующие квадратуры для продольных компонентов угловых скоростей:

$$r(t) = -\int \frac{M_s(t)}{C_2} dt, \quad \sigma(t) = \int \frac{M_s(t)(C_1(t) + C_2)}{C_1(t)C_2} dt.$$

Рассмотрим случай, когда этот момент отсутствует: $M_s(t) = 0$, т.е. реализуется случай движения с пренебрежимо малым трением и выключенным двигателем раскрутки маховика-гиростата (одного из соосных тел). В этом случае продольные компоненты угловых скоростей будут постоянны: $r = r_0, \sigma = \sigma_0$.

С изменением массы координата центра масс системы является функцией времени, причем, как показано в [3], слагаемое $m\rho_c^2(t)$ можно исключить из уравнений (1) как величину высшего порядка малости

В уравнениях (1) от переменных $\{p, q\}$ перейдем к переменным $\{G, F\}$ типа "амплитуда-фаза" с помощью следующей замены:

$$p(t) = G(t) \sin F(t), \quad q(t) = G(t) \cos F(t). \quad (5)$$

В новых переменных (5) с учетом малых относительных смещений центра масс первые два уравнения (1) примут вид:

$$\ddot{G} = 0, \quad \dot{F} \approx \omega + 2\mu t, \quad \omega = \frac{k}{A_1 + A_2}, \quad \mu = \frac{1}{2} \left(\frac{(A_1 - A_{1k})k}{T(A_1 + A_2)^2} - \frac{n}{A_1 + A_2} \right); \quad (6)$$

$$k = r_0(A_1 + A_2 - C_1 - C_2) - C_1\sigma_0, \quad n = \frac{A_1 - A_{1k}}{T} r_0 - \frac{C_1 - C_{1k}}{T} [r_0 + \sigma_0].$$

Решения уравнений (6) имеют вид:

$$G = L_0, \quad F(t) = s_0 + \omega t + \mu t^2, \quad (7)$$

поэтому для экваториальных угловых скоростей будут справедливы следующие аналитические зависимости:

$$p(t) = L_0 \sin(s_0 + [\omega + \mu t]t), \quad q(t) = L_0 \cos(s_0 + [\omega + \mu t]t). \quad (8)$$

Рассмотрим два возможных случая движения соосных тел, характеризующихся совпадением и различием знаков ω и μ .

$$1) \operatorname{sgn} \omega = \operatorname{sgn} \mu; \quad 2) \operatorname{sgn} \omega = -\operatorname{sgn} \mu. \quad (9)$$

Из кинематических уравнений (3) и зависимостей (8) следует, что для углов пространственной ориентации системы в случае малых углов нутации и медленной скорости собственного вращения справедливы следующие соотношения:

$$\dot{\gamma} = L_0 \sin(s_0 + [\omega + \mu t]t), \quad \dot{\psi} = L_0 \cos(s_0 + [\omega + \mu t]t). \quad (10)$$

Из (10), во-первых, следует, что линеаризованные уравнения для пространственных углов представляют собой неавтономную систему, поэтому возможны пересечения фазовых траекторий (ФТ) в пространстве углов $\{\gamma, \psi\}$ и, во-вторых, так как функции $\sin(x)$ и $\cos(x)$ не могут одновременно равняться нулю, то не существует стационарных положений углов (предельных при $t \rightarrow \infty$ точек ФТ), соответствующих аттракторам динамической системы (10), под которыми понимаются множества точек, к которым притягиваются ФТ.

Проиллюстрируем последние замечания примерами фазовых портретов в пространстве $\{\gamma, \psi\}$ для обоих случаев (9). На рис. 1 представлен соответствующий первому случаю фазовый портрет, из которого видно, что ФТ скручиваются к некоторым предельным положениям, отмеченным крестиками. На рис. 2 представлен фазовый портрет системы во втором случае, из которого видно, что ФТ сначала раскручиваются из своих начальных точек, а затем скручиваются к весьма удаленным предельным положениям.

При малых углах нутации Θ будет справедливо выражение $\Theta^2 \approx \gamma^2 + \psi^2$, поэтому приведенный рисунок 1 дает весьма простую геометрическую интерпретацию условия уменьшения амплитуды колебаний угла нутации около своего предельного значения ("конечная" точка ФТ) [3]: длина радиус-вектора, проведенного из начала координат фазового пространства в точку ФТ, соответствует величине угла нутации (рис. 3).

Выполнение того или другого условия (9) определяется инерционно-массовыми и кинематическими параметрами системы соосных тел, что необходимо учитывать при проекти-

ровании соосных КА переменной массы, выбирая способ размещения твердотопливных пакетов тормозной двигательной установки и начальные условия движения таким образом, чтобы реализовывался случай 1, обеспечивающий уменьшение амплитуды нутационных колебаний КА. Например, для получения одинаковых знаков величин ω и μ следует максимально увеличить конечное изменение величины экваториального момента инерции ($A_1 - A_{1,д}$) по сравнению с изменением продольного ($C_1 - C_{1,д}$), т.е. наиболее выгоден случай выгорания ТДУ, представленный на рис.4а, а наименее выгоден случай, соответствующий рис. 4б. (на рисунке 4 ось z является продольной осью ТДУ).

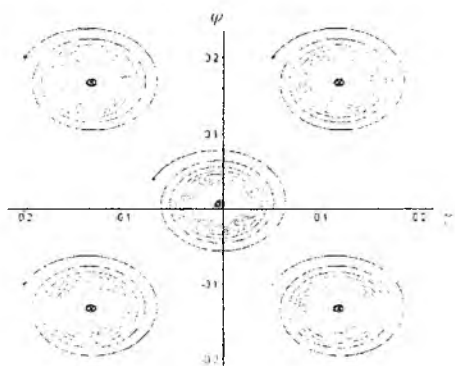


Рис.1 Фазовый портрет системы в случае совпадения знаков величин ω и μ

$$(\omega=10 \text{ с}^{-1}, \mu=2,5 \text{ с}^{-2}, L_0=0,75 \text{ с}^{-1}, s_0=0,5 \text{ рад})$$

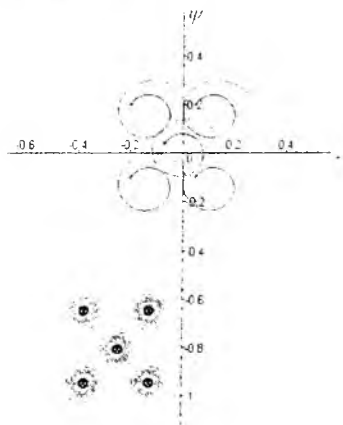


Рис.2 Фазовый портрет системы в случае несовпадения знаков величин ω и μ

$$(\omega=10 \text{ с}^{-1}, \mu=-2,5 \text{ с}^{-2}, L_0=0,75 \text{ с}^{-1}, s_0=0,5 \text{ рад})$$

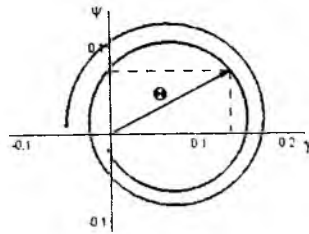


Рис.3 Величина угла нутации как длина радиус-вектора точки ФТ

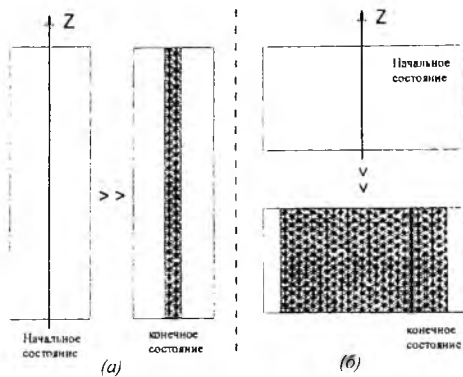


Рис.4 Два случая выработки топлива в ТДУ

БИБЛИОГРАФИЧЕСКИЙ СПИСОК

1. Асланов В. С., Дорошин А. В. Стабилизация спускаемого аппарата частичной закруткой при осуществлении неуправляемого спуска в атмосфере. // Космические исследования. 2002. Т.40. № 2, с. 193-200.
2. Нейштадт А. И., Пивоваров М. Л. Переход через сепаратрису в динамике спутника с двойным вращением. // Прикладная математика и механика. 2000. Т.64. № 5, с.741-746.
3. Асланов В.С., Дорошин А.В., Круглов Г.Е. Уменьшение ошибок стабилизации соосных тел переменного состава при входе в атмосферу. // Вестник СГАУ, 2002, №1, с.126-134.